

## (257) 複合吹鍊法によるステンレス精鍊法の開発

(複合吹鍊法の活用 - II )

住友金属工業㈱ 鹿島製鉄所

多賀雅之, 姉崎正治

本社

○中島英雅

中央技術研究所 増田誠一

## I 緒言

前報<sup>1)</sup>では 2.5 T 試験転炉を用いて複合吹鍊法 ( $O_2$ 上吹-Ar横吹法) をステンレス鋼の精鍊に適用した結果, AOD 法とほぼ同等の精鍊が可能であることを報告した。今回 15 T 多目的試験転炉を用いて STB 法 ( $O_2$ 上吹-Ar底吹複合吹鍊法) によるステンレス精鍊を行ない、転炉ワンプロセスで 2.5 T と全く同様にステンレス鋼溶製が可能であることを確認し、実用化への目途がたったので以下に報告する。

## II 実験方法

プロセスフローを図 1 に示す。脱[P]処理をした溶銑を用いて Ch-Cr, 生石灰を所定量投入しつつ、上吹ランスより  $O_2$ を、底吹ノズルより Ar を供給して脱炭精鍊を行なった。脱炭終了後 ( $[C] = 0.01 \sim 0.03\%$ ), 還元剤として Fe-Si を用い、シングルスラグ法にて還元・仕上精鍊を行ない出鋼した。

## III 結果と考察

1. 脱炭挙動：高炭域 ( $[C] \geq 0.4\%$ ) については、送酸速度が AOD 法の 4 ~ 6 倍と大きく、脱炭速度は大である。低炭域 ( $[C] < 0.4\%$ ) においては

$$-\frac{d[\%C]}{dt} = \alpha ([\%C] - [\%C]_e) \quad \dots \dots \dots (1)$$

が成りたち、Ar 気泡界面で  $[C] - [Cr] - [O] - P_{CO}$  が平衡していると仮定すると(2)式が導かれる。<sup>2)</sup>

$$-\frac{d[\%O]}{dt} = \alpha \left[ [\%O] + \left[ \frac{[\%Cr] \cdot W_M}{K \cdot M_C \cdot 10^2} \cdot \frac{d[\%O]}{dt} \right] \right] / \left[ N_{Ar} - \frac{W_M}{M_C \cdot 10^2} \cdot \frac{d[\%C]}{dt} \right] \quad \dots \dots \dots (2)$$

(K : 平衡定数,  $W_M$  : 溶銑重量,  $M_C$  : C の原子量,  $N_{Ar}$  : Ar 流量)

図 2 に示すように(2)式よりの計算値と実績はよく一致することがわかる。同様にして求めた  $\alpha$  と底吹 Ar 流量との関係を図 3 にプロットすると明確な相関があり、底吹 Ar 流量の増大とともに優先脱炭が進行する。

2. Cr酸化挙動：AOD 法と異なり、Cr酸化は高炭域に大半が進行しているが、低炭域までの通算 Cr酸化量は STB 法、AOD 法ともに 2.5 ~ 3 % であり同等である。

3. 還元挙動：AOD 法と全く同等の精鍊が可能である。

## N 結言

溶銑脱[P]-STB 法の組合せにより、転炉ワンプロセスによるステンレス精鍊法を開発し、AOD 法と比較して何らかの色ないことと本法による多くのメリットを確認した。

(文献) 1) 池田, 多賀, 増田; 鉄と鋼, 65(1979) S 194

2) 池田, 多賀, 増田; 学振19委-10202, 54.9.27

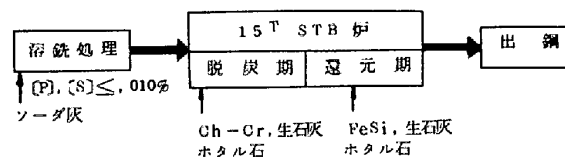


図 1. STB ステンレス精鍊プロセスフロー

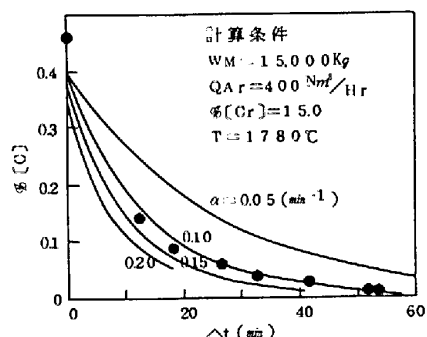
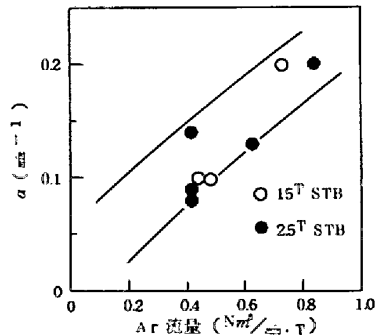
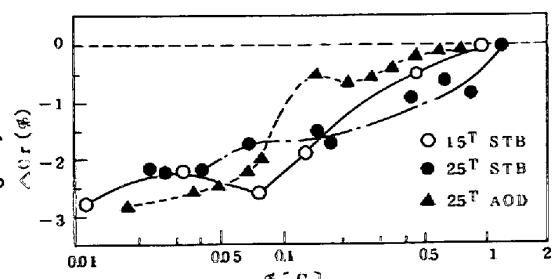


図 2. 低炭域の脱炭挙動(計算値と実績の対比)

図 3. 底吹 Ar 流量と  $\alpha$ 図 4. Cr酸化と  $[C]$  の関係(脱炭期)